

# تحریک ریشه‌های موئین ترا ریخت در گیاه دارویی شقایق (*Papaver somniferum L.*) با استفاده از آگروباکتریوم رایزوزنز (*Agrobacterium rhizogenes*)

احمد جلیلیان<sup>۱</sup>، احمد اسماعیلی<sup>۲\*</sup>، فرهاد نظریان فیروزآبادی<sup>۳</sup> و سیده زهرا حسینی<sup>۴</sup>

۱- دانشجوی کارشناسی ارشد، گروه زراعت و اصلاح نباتات، دانشکده کشاورزی، دانشگاه لرستان

۲- نویسنده مسئول: دانشیار، گروه زراعت و اصلاح نباتات، دانشکده کشاورزی، دانشگاه لرستان (ismaili.a@lu.ac.ir)

۳- دانشیار، گروه زراعت و اصلاح نباتات، دانشکده کشاورزی، دانشگاه لرستان

۴- مربی، گروه زیست‌شناسی، دانشکده علوم پایه، دانشگاه صنعتی خاتم الانبیاء بهبهان

تاریخ پذیرش: ۱۳۹۴/۱۰/۳۰

تاریخ دریافت: ۱۳۹۳/۱۰/۲۸

## چکیده

گیاه شقایق (*Papaver somniferum L.*) یکی از قدیمی‌ترین گیاهان دارویی شناخته شده است. با توجه به این که پتانسیل مواد دارویی گیاهان دارویی در شرایط طبیعی بسیار محدود می‌باشد، از این رو کشت بافت گیاهی به عنوان یکی از روش‌های کاربردی نقش مهمی در راستای تولید صنعتی متابولیت‌های ثانویه در گیاهان دارویی دارد. از میان سیستم‌های کشت بافت، سیستم ریشه‌های موئین در شرایط کشت بدون تنظیم‌کننده رشد بسیار پایدار است و به دلیل ثبات ژنتیکی و بیوشیمیایی ذاتی، متابولیت‌های ثانویه را در طی یک دوره‌ی طولانی تولید می‌کنند. در این پژوهش به منظور بهینه‌سازی شرایط کشت ریشه‌های موئین از سویه‌های مختلف آگروباکتریوم رایزوزنز (ATCC15834، A4 و GMI9534)، محیط‌های کشت MS و 1/2MS دو دمای ۲۵ و ۱۷ درجه سلسیوس در دوره هم‌کشتی و دو نوع ریزنمونه‌ی اندام هوایی و محور زیرپه استفاده گردید. صفت‌های درصد تحریک ریشه موئین، تعداد ریشه موئین در ریزنمونه و تعداد انشعاب فرعی ریشه موئین در طول یک سانتی‌متر از ریزنمونه اندازه‌گیری شد. واکاوی نتایج نشان داد که سویه‌ی ATCC15834، محیط کشت 1/2 MS، دمای ۲۵ درجه سلسیوس هم‌کشتی و ریزنمونه اندام هوایی بهترین ترکیب تیماری جهت تحریک ریشه موئین در گیاه شقایق هستند. با استفاده از واکنش PCR تأیید ترا ریختی ریشه‌های موئین با آغازگرهای اختصاصی ژن *rolB* انجام گرفت.

کلید واژه‌ها: ریشه موئین، آگروباکتریوم رایزوزنز، ریزنمونه، شقایق، سویه، محیط کشت، دما.

## مقدمه

گیاه شقایق (*Papaver somniferum L.*) یکی از مهم‌ترین گیاهان دارویی است که تولیدکننده انواع آلکالوئیدهای بنزیل ایزوکوئینولین‌ها با ساختار متنوع است (Balandrin et al., 1985). که دارای فواید دارویی زیادی است؛ به‌عنوان نمونه بسیاری از آن‌ها دارای فعالیت‌های دارویی بالقوه، از جمله مسکن‌های

نارکوتیک، داروی ضدسرطان نوسکاپین، عامل ضد میکروبی سنگوئی نارین و گشادکننده‌ی عروق پاپاورین می‌باشد (Desgagne Penix and Facchini, 2012). آلکالوئیدهای شقایق (به غیر از تبائین، کریپتوپین و پروتوپین) در هیچ جنس گیاهی به غیر از *Papaver* وجود ندارد، که این مسئله اهمیت گیاه شقایق را به‌عنوان تنها منبع آلکالوئیدهای گروه مورفین (مورفین، تبائین،

تشکیل نمی‌شوند. بنابراین بیشترین توجه روی کشت‌های ریشه متمرکز شده است (Mishra and Ranjan, 2008). اکنون پژوهش‌های محدودی روی ریشه موئین در گیاه شقایق انجام شده است.

Yoshimatsu and Shimomura (۱۹۹۲) اولین کسانی بودند که گزارشی از موفقیت آمیز بودن تراریختی گیاه *P. somniferum* L. به‌وسیله آگروباکتریوم رایزوزنز سویه MAFF 03-01724 ارائه دادند که از ریزنمونه‌ی محور زیرپله جهت تراریختی استفاده شد و درصد القای نسبتاً کمی (کمتر از ۲۰ درصد) به‌دست آمد. Park and Facchini (۲۰۰۰) یک گزارش کارآمد برای استقرار کشت ریشه موئین در گیاه *P. somniferum* و *Eschscholzia californica* با استفاده از آگروباکتریوم رایزوزنز ارائه دادند. در این مطالعه از پنج سویه *A. rhizogenes* جهت تولید ریشه‌های موئین در گیاهچه شقایق و پینه‌های جنین‌زای شقایق کالیفرنیا استفاده کردند که در بین آن‌ها ۳ سویه دارای توانایی تحریک و تشکیل ریشه موئین، در بین ۲ گونه بودند. درحالی‌که دو تا سویه‌ی دیگر به سبب رشد تومور پاسخ ندادند. در یک پژوهش دیگر از ۲ سویه (LBA9402 و 15834) *A. rhizogenes* و یک سویه *A. tumefaciens* ((GV3101 (PMP90RK, p35SGUS-2)) و چهار محیط کشت برای توانایی آن‌ها جهت تحریک تشکیل ریشه موئین روی محور زیرپله‌های زخمی *P. somniferum* استفاده شد. پنج هفته بعد از آلودگی با *A. rhizogenes* سویه‌ی LBA9402، ریشه‌های موئین در ۸۰ درصد محور زیرپله‌ها پدیدار شدند (Le Flem-Bonhomme et al., 2004).

بر اساس آنچه که در بالا اشاره شد، لازم است پژوهش‌های گسترده‌تری جهت بهینه‌سازی شرایط تحریک ریشه موئین در این گیاه صورت گیرد. بر این اساس عوامل مؤثر متنوعی در مورد تراریختی *A. rhizogenes* در گیاهان مختلف گزارش شده است و این تحقیق به‌منظور دستیابی به روش مناسب و با کارایی بالا جهت تحریک

کدوئین، نارکوتین و ...) روشن می‌کند (Tetenyi, 1997). کشت ریشه‌های موئین تراخته یک سیستم مدل مفید جهت بررسی بیوسنتز آلکالوئیدها و دیگر متابولیت‌های ثانویه متنوع است (Rostampour et al., 2009). گونه‌ی *Agrobacterium rhizogenes* یکی از مهم‌ترین منابع ژن‌های تنظیم‌کننده رشد است که به‌طور گسترده‌ای برای تراریختی گیاهان استفاده می‌شود. سندرم ریشه موئین ناشی از *A. rhizogenes* در نتیجه‌ی تلفیق ژن‌های تنظیم‌کننده رشدی متمرکز یافته در T-DNA پلاسمید Ri در داخل ژنوم گیاه است. این ژن‌ها عامل تغییر در تعادل تنظیم‌کننده رشدی و یا مسیر پیام‌رسانی در گیاه هستند (Chandra, 2012).

ریشه موئین نوعی بیماری گیاهی است که توسط یک باکتری گرم منفی خاکزی به نام آگروباکتریوم رایزوزنز ایجاد می‌شود. زمانی که باکتری وارد گیاه می‌شود، تعدادی از ژن‌ها از پلاسمید باکتری، به گیاه منتقل شده و وارد ژنوم هسته‌ای گیاه می‌شود. حاصل این انتقال تولید ریشه موئین در نزدیکی جایگاه ورود باکتری است (Sevon and Caldentey, 2002). شاخصه‌ی ریشه‌های موئین ناشی از *A. rhizogenes* شامل رشد سریع ریشه‌ها و انشعاب‌های زیاد با تراکم زیست توده بالا روی یک محیط عاری از تنظیم‌کننده رشد است. این ریشه‌های پایدار، به دلیل ثبات ژنتیکی و بیوشیمیایی ذاتی، متابولیت‌های ثانویه را در طی یک دوره طولانی تولید می‌کنند (Majumdar et al., 2011). هم‌چنین آن‌ها در حال حاضر یک پتانسیل بالقوه برای تولید متابولیت‌های ثانویه‌ی با ارزش در لاین‌های با عملکرد بالا هستند که این لاین‌ها خود از طریق بهینه‌سازی شرایط تلقیح، ترکیبات مواد غذایی محیط کشت و استفاده از محرک‌ها به‌دست می‌آیند (Sharifi et al., 2014). بسیاری از محصولات مورد علاقه نیز در بافت‌های سازمان یافته (ریشه) سنتز شده، اما در کشت‌های سوسپانسیون و یا پینه<sup>۱</sup> (ساقه و برگ)

ریشه‌های موئین در گیاه *P. somniferum* طراحی گردیده است.

۳۰ گرم بر لیتر ساکارز و ویتامین و نمک با تراکم سلول  $A_{600}=1.0$  سوسپانسیون شدند.

### هم‌کشتی و تحریک ریشه‌های موئین

از ریزنمونه‌های نوساقه بدون ریشه یا اندام هوایی<sup>۱</sup> (با حذف اندام ریشه از یک گیاهچه این ریزنمونه تشکیل می‌شود و شامل محور زیرلپه<sup>۲</sup> و لپه‌ها می‌باشد) و محور زیرلپه گیاه ۱۰-۸ روزه شقایق جهت هم‌کشتی با سویه‌های ATCC15834، A4 و GMI9534 استفاده شد. اندازه ریزنمونه‌ی اندام هوایی و محور زیرلپه به ترتیب حدود ۱ و ۰/۶ تا ۱ سانتی‌متر بود. ریزنمونه‌ها به وسیله اسکالپل به صورت تصادفی و با پراکنش و تعداد نسبتاً یکسان زخم شدند و در محیط کشت تلقیح مایع *A. rhizogenes* غوطه‌ور شدند و در نهایت به مدت ۱۰ دقیقه با سرعت ۸۰ rpm روی دستگاه شیکر قرار گرفتند. سپس به کاغذ صافی استریل جهت خشک کردن انتقال یافتند و روی محیط‌های کشت فیتوآگار MS و MS ½ جامد در تاریکی تلقیح شدند. پتری دیش‌های حاوی ریزنمونه‌های گیاهی در تاریکی، به مدت ۴۸ ساعت و در ۲ سطح دمایی ۲۵ و ۱۷ درجه درجه سلسیوس نگهداری شدند. پس از ۴۸ ساعت انجام تلقیح، به‌منظور حذف باکتری‌های اضافی، ۳-۴ بار ریزنمونه‌ها را با آب مقطر استریل شستشو داده و ریزنمونه‌ها به محیط کشت‌های جامد انتخابی MS و MS ½ حاوی نمک‌ها و ویتامین‌ها، ۲ درصد (W/V) ساکارز، ۴۰۰ mg/L (W/V) سفوتاکسیم عاری از تنظیم‌کننده رشد جهت حذف باکتری و ۶ g/L فیتوآگار انتقال داده شدند. ریزنمونه‌ها در فواصل ۱۰-۱۲ روز یک بار زیر کشت شدند. ظاهر شدن ریشه‌های موئین در جایگاه‌های زخم از روز هشتم به بعد (البته در برخی تیمارها) مورد ثبت قرار گرفت. هم‌چنین، از کشت ریزنمونه‌های بدون تلقیح به‌عنوان شاهد استفاده شد.

این پژوهش در آزمایشگاه بیوتکنولوژی دانشکده کشاورزی دانشگاه لرستان در سال ۹۳-۹۲ اجرا گردید.

### مواد و روش‌ها

#### بذر و جوانه زنی

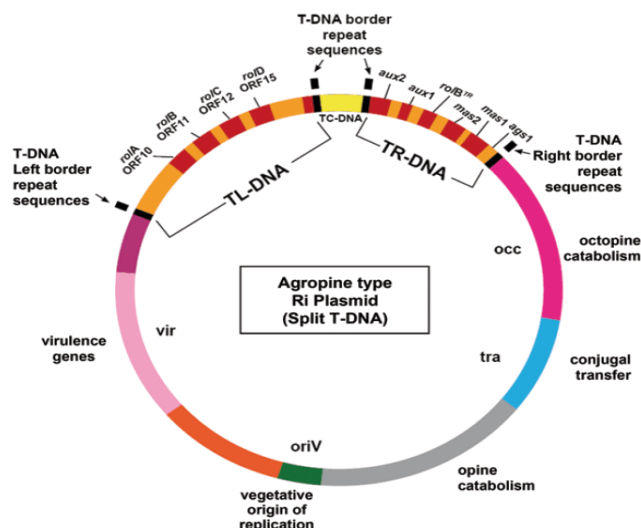
ابتدا بذرهای گیاه *P. somniferum* توسط اتانول ۷۰ درصد (v/v) به مدت ۳۰ ثانیه گندزدایی سطحی و سپس سه بار با آب مقطر شستشو داده شد. در ادامه بذرها به مدت ۱۰ دقیقه در تماس با هیپوکلریت سدیم ۲ درصد (v/v) قرار گرفت و در نهایت ۱۰-۷ بار با آب مقطر شستشو داده شد. به تقریب ۳۰ بذر در هر فلاکس حاوی ۵۰ ml محیط کشت پایه B5 با ۰/۶ درصد فیتوآگار استفاده شد (Gamborg et al., 1968). pH محیط کشت پیش از افزودن آگار روی ۵/۸ تنظیم شد. سپس توسط اتوکلاو در فشار  $1.1 \text{ kg.cm}^{-2}$  (121°C) برای ۲۰ دقیقه استریل شد. سپس بذرها کشت شده تحت شرایط دمای ۲۵°C و زیر نور سفید فلورسنت و طول روز ۱۶ ساعت برای جوانه‌زنی قرار گرفتند.

#### آماده سازی سویه‌های آگروباکتریوم ریزوژنز

به‌منظور تحریک ریشه‌های موئین، از آگروباکتریوم *A. rhizogenes* سویه‌های ATCC15834، A4 و GMI9534 استفاده شد. شماتیک نقشه ژنی پلاسمید Ri نوع آگروپین (مانند pRi15834) *A. rhizogenes* در شکل (۱) نشان داده شده است. باکتری‌ها در فاز mid-log phase ( $A_{600}=0.5$ ) در دمای ۲۸ سانتی‌گراد روی شیکر با سرعت ۱۸۰ rpm در محیط مایع LB (۱) ۵ درصد (w/v) تریپتون، ۵ درصد (w/v) عصاره مخمر و ۱ درصد (w/v) NaCl (pH 7.0) حاوی  $50 \text{ mg L}^{-1}$  ریفامپیسین در تاریکی رشد کردند. کشت باکتریایی توسط سانترفیوژ در دمای ۴°C با سرعت ۴۰۰۰ rpm به مدت ۱۰ دقیقه جداسازی شدند و دوباره هر کدام از باکتری‌ها در محیط کشت تلقیح مایع MS

1- Excised shoot

2- Hypocotyl



شکل ۱- شکل شماتیک نقشه ژنی پلاسمید Ri نوع آگروپین در *A. rhizogenes* (Ozyigit et al., 2013)  
 Fig. 1. Schematic representation of Agropine type Ri plasmid of *A. rhizogenes*

رسم نمودارها و جداول توسط نرم‌افزار Excel 2010 صورت گرفت.

### آنالیز مولکولی ریشه‌های موئین با استفاده از PCR

استخراج DNA ژنومی از ریشه‌های معمولی و موئین شقایق با استفاده از تغییراتی در روش Edward و همکاران (۱۹۹۱) انجام گرفت. به این صورت که ۱۵۰ میلی‌گرم از وزن تر ریشه‌ها در ۳۰۰ میکرولیتر بافر استخراج با استفاده از هاون همگن شد که بافر استخراج شامل ۰/۵ درصد SDS، ۲۵۰ mM NaCl، ۱۰۰ mM Tris-HCl، تنظیم روی pH=8 و ۲۵ mM EDTA بود. سپس با سرعت ۱۳۰۰۰ rpm به مدت ۵ دقیقه سانتریفیوژ شد. در ادامه محلول رویی به ویال جدید انتقال داده شد و برابر با مقدار حجم آن ایزوپروپانول سرد اضافه شد. سپس به مدت ۳۰-۲۵ دقیقه در دمای ۲۰- درجه سلسیوس قرار داده شد و پس از آن با سرعت ۱۳۰۰۰ rpm به مدت ۱۰ دقیقه سانتریفیوژ شد. در آخر پس از بخار شدن محلول رویی، DNA ژنومی در ۵۰ میکرولیتر بافر TE (۱۰ mM Tris-HCl، تنظیم روی pH=۷/۴ و ۱ mM EDTA) سوسپانسیون شد.

به‌منظور تأیید حضور قطعه T-DNA پلاسمید Ti در ریشه‌ها از آغازگرهای ژن *rolB*، با توالی آغازگر رو

### آنالیز آماری

آزمایشی به‌صورت فاکتوریل در قالب طرح کامل تصادفی با ۴ تکرار اجرا شد که فاکتورهای آزمایش شامل دمای دوره‌ی هم‌کشتی در دو سطح دمایی ۲۵ و ۱۷ درجه سلسیوس، سویه‌های آگروباکتریوم در سه سطح ATCC15834، A4 و GMI9534 و محیط کشت پایه در دو سطح MS و 1/2MS برای دو نوع ریزنمونه‌ی اندام هوایی و محور زیرپه بود. در هر پتری‌دیش ۸ سانتی‌متری حاوی ۲۰ میلی‌لیتر محیط کشت، ۸ ریزنمونه کشت شد و هر پتری‌دیش به‌عنوان یک تکرار لحاظ گردید. در پتری‌دیش‌های شاهد، تلقیحی صورت نگرفت. یادداشت‌برداری به‌صورت روزانه تا ۲۴ روز بعد از تلقیح برای هر پتری‌دیش انجام گرفت. صفت‌های مورد مطالعه شامل درصد تحریک ریشه موئین، تعداد انشعاب فرعی ریشه موئین در طول یک سانتی‌متر از ریزنمونه و تعداد ریشه‌های موئین در ریزنمونه بودند. قابل ذکر است که در ریزنمونه‌های محور زیرپه به دلیل واکنش ضعیف به آگروباکتریوم ریزوژنز، فقط صفت درصد تحریک ریشه موئین اندازه‌گیری شد. در تجزیه آماری داده‌ها از نرم‌افزار MSTATC استفاده گردید و به‌منظور مقایسه میانگین‌ها از آزمون چند دامنه‌ای دانکن استفاده شد.

در دستگاه تروموسایکلر اپندورف مدل AG 22331 به جلو: انجام شد. جهت مشاهده و بررسی محصولات تکثیر شده از الکتروفورز با ژل آگارز ۱ درصد حاوی gel read (جهت رنگ آمیزی) با ولتاژ ثابت ۹۰ به مدت یک ساعت و نیم استفاده شد. سپس از ژل حاصله توسط نور UV با استفاده از دستگاه ژل داک مدل UVi Tech عکس برداری انجام گرفت.

### نتایج و بحث

همه سویه های *A. rhizogenes* موفق به تحریک ریشه موئین در گیاه شقایق شدند ولی در نمونه های شاهد هیچ ریشه موئینی تولید نشد. نتایج تجزیه واریانس برای ویژگی مورد بررسی در دو ریزنمونه اندام هوایی و محور زیرپله در جدول (۱) نشان داده شده است.

و آغازگر برگشتی:  
5'-GCTCTTGCAGTGCTAGATTT-3'

5'-GAAGGTGCAAGCTACCTCTC-3'

برای واکنش زنجیره ای پلیمرز (PCR) استفاده گردید (Fumer *et al.*, 1986). شرایط دمایی برای تکثیر ژن *rolB* شامل واسرشته سازی اولیه DNA به مدت ۴ دقیقه در دمای ۹۴ درجه سلسیوس، ۳۵ چرخه تکثیر DNA (واسرشته سازی DNA الگو به مدت ۱ دقیقه در دمای ۹۴ درجه سلسیوس، اتصال آغازگرها به DNA تک رشته ای در مدت ۱ دقیقه و دمای ۵۵ درجه سلسیوس، توسعه آغازگر به مدت ۱ دقیقه در دمای ۷۲ درجه سلسیوس) و توسعه نهایی به مدت ۱۰ دقیقه در دمای ۷۲ درجه سلسیوس

جدول ۱- نتایج تجزیه واریانس برای ویژگی های مورد بررسی در ریزنمونه اندام هوایی و محور زیرپله

Table 1. Analysis of variance (ANOVA) for studied traits in excised shoot and hypocotyl explants

میانگین مربعات (MS)					منبع تغییرات S.O.V
تعداد ریشه موئین در ریزنمونه <sup>d</sup> Number of hairy root per explant <sup>d</sup>	تعداد انشعاب فرعی در طول ۱ سانتی متر <sup>c</sup> Number of lateral branches/1cm <sup>c</sup>	میزان تحریک ریشه موئین (درصد) <sup>b</sup> Percent of induced hairy root <sup>b</sup>	میزان تحریک ریشه موئین (درصد) <sup>a</sup> Percent of induced hairy root <sup>a</sup>	df	درجه آزادی
5.2*	5.2**	11.2*	5472**	1	دما Temperature
11.8**	8.3**	2.3	1731.7**	2	سویه Strain
0.152	2.9*	2.8	403.64	2	دما × سویه Temperature × strain
5.5*	3.9*	11.1*	2373**	1	محیط کشت Medium
0.001	0.012	0.684	550.2	1	دما × محیط کشت Temperature × Medium
0.829	0.255	1.4	1093.75*	2	سویه × محیط کشت Strain × Medium
0.134	0.109	3.4	52.08	2	دما × سویه × محیط کشت Temperature × Strain × Medium
0.933	0.544	3.6	291.9	36	خطا Error
16.24	12.75	18.69	22.16		ضریب تغییرات (درصد) CV (%)

\* و \*\* به ترتیب بیان کننده اختلاف معنی دار در سطح ۰/۰۱ و ۰/۰۵ می باشد. a، c و d برای ریزنمونه اندام هوایی؛ b برای ریزنمونه زیرپله.

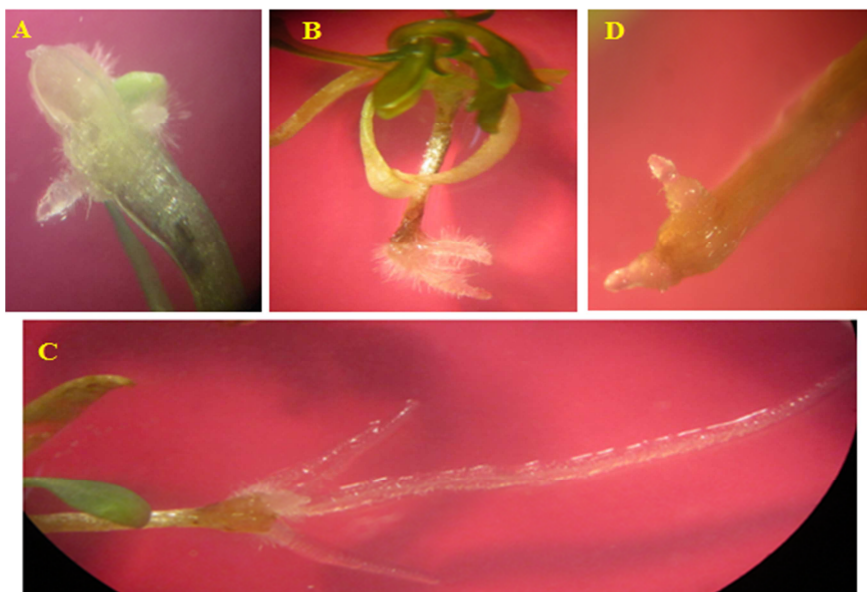
\* and \*\* Significant at 0.01 and 0.05 probability levels, respectively. a, c and d for excised shoot; b for hypocotyl.

فراوان بود (شکل ۲).

### درصد تحریک ریشه موئین

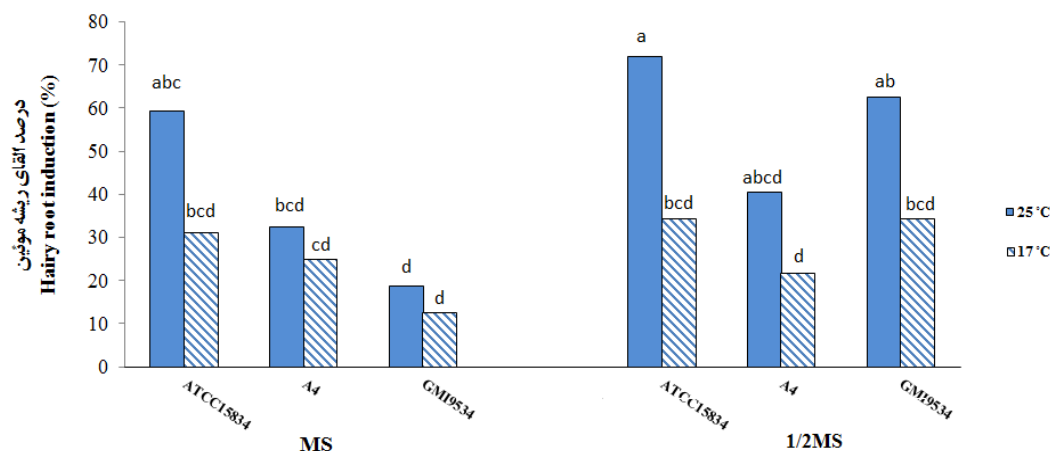
درصد تحریک ریشه موئین در محیط‌های مختلف و برای سویه‌های مختلف در ۲ دمای ۲۵ و ۱۷ درجه سلسیوس هم کشتی در شکل (۳) نشان داده شده است.

اولین ریشه‌های موئین پس از گذشت ۸ روز از تلقیح با باکتری در ریزنمونه اندام هوایی ظاهر شدند. ریخت‌شناسی این ریشه‌ها با ریشه طبیعی گیاه متفاوت بود به طوری که به صورت متراکم و از یک نقطه در محل زخم و یا نزدیک به آن ظاهر شدند. ویژگی‌های رشدی ریشه‌های موئین منطبق بر رشد سریع و تولید انشعابات



شکل ۲- توسعه ریشه موئین در ریزنمونه اندام هوایی گیاه شقایق بعد از ۸ (A)، ۱۶ (B) و ۲۴ (C) روز پس از تلقیح با *Agrobacterium rhizogenes* و نیز ریزنمونه محور زیرلپه ۱۲ روز بعد از تلقیح (D).

Fig. 2. Development of hairy roots in excised shoot explants of *P. somniferum* L. A, B, C: 7, 16 and 24 days after inoculation, respectively, and D: 12 days after inoculation of hypocotyle explant.



شکل ۳- اثر دما، سویه و محیط کشت بر درصد تحریک ریشه موئین برای ریزنمونه اندام هوایی.

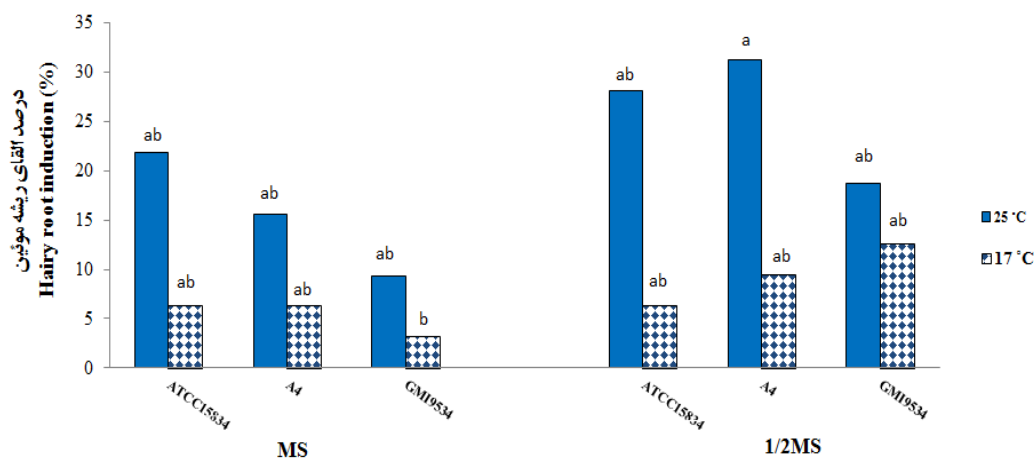
Fig. 3. Effects of temperature, strain and medium on hairy root induction in excised shoot explant ( $P \leq 0.01$ ).

ضعیف بود. به صورتی که در ریزنمونه‌ی محور زیرلپه، بالاترین درصد تحریک ریشه موئین مربوط به سویه A4 به میزان ۳۱/۲ درصد بود که در محیط MS<sup>۱/۲</sup> و دمای ۲۵ درجه سلسیوس به دست آمد. لازم به ذکر است که درصد تحریک ریشه موئین در این ریزنمونه و دمای ۲۵ درجه سلسیوس برای سویه‌ی ATCC15834 به میزان ۲۸/۱ درصد در محیط MS<sup>۱/۲</sup> بود (شکل ۴). به طور کلی میزان تحریک ریشه موئین در محیط MS<sup>۱/۲</sup> نسبت به محیط MS برای ریزنمونه‌ی محور زیرلپه، در همه‌ی سویه‌ها بیشتر بود.

#### تعداد انشعاب فرعی ریشه موئین در طول یک سانتی متر از ریزنمونه

بیشترین تعداد انشعاب فرعی در یک سانتی متر مربوط به سویه ATCC15834 به میزان ۴/۶ عدد در محیط MS و دمای ۲۵ درجه سلسیوس به دست آمد (شکل ۵). محیط MS به طور کلی در همه شرایط تعداد انشعاب فرعی بیشتری در مقایسه با MS<sup>۱/۲</sup> (به ترتیب ۳/۲ عدد در مقابل ۲/۷ عدد) تولید کرد. جالب توجه است که سویه GMI9534 در محیط MS و دمای ۱۷ درجه سلسیوس تعداد انشعاب فرعی در یک سانتی متر بالاتری به میزان ۳/۸ عدد نسبت به دیگر سویه‌ها در این دما داشت (شکل ۵).

همان طور که مشاهده می‌شود سویه‌ی ATCC15834 در محیط کشت MS<sup>۱/۲</sup> و دمای ۲۵ درجه سلسیوس، بالاترین کارایی در انتقال T-DNA به ریزنمونه‌های اندام هوایی را (به میزان ۷۱/۸۷ درصد) نشان داد. هم‌چنین در محیط کشت MS<sup>۱/۲</sup> و دمای ۲۵ درجه سلسیوس سویه‌های GMI9534 و A4 به ترتیب داری ۶۲/۵ و ۴۰/۶۲ درصد تولید ریشه موئین در ریزنمونه اندام هوایی بودند. ۲ روز پس از هم‌کشتی با آگروباکتریوم رایزوزنز، ریزنمونه‌ها به محیط جامد انتخابی بدون تنظیم‌کننده رشد منتقل شدند. نخستین ریشه موئین‌ها پس از ۸ روز، از محل زخم ریزنمونه‌ها پدیدار شدند (شکل ۲-A). پس از ۱۲ تا ۱۶ روز ریشه موئین‌های تراریخته گیاه شقایق رشد سریع داشتند (شکل ۲-B). پس از زیرکشت‌های متوالی ریزنمونه‌ها و انتقال به محیط تازه، سرعت رشد بالایی در ریشه‌های موئین ایجاد شد (شکل ۲-C). ریزنمونه اندام هوایی بالاترین واکنش را به تحریک ریشه موئین نشان داد به طوری که در ریزنمونه‌ی اندام هوایی بالاترین درصد تحریک ریشه موئین مربوط به سویه ATCC15834 به میزان ۷۱/۸۷ درصد بود که در محیط MS<sup>۱/۲</sup> و دمای ۲۵ درجه سلسیوس حاصل گردید (شکل ۳). اما ریزنمونه‌ی محور زیرلپه به میزان قابل توجهی در تحریک ریشه موئین



شکل ۴- اثر دما، سویه و محیط کشت بر درصد تحریک ریشه موئین برای ریزنمونه محور زیرلپه.

Fig. 4. Effects of temperature, strain and medium on hairy root induction in hypocotyl explant ( $P \leq 0.05$ ).

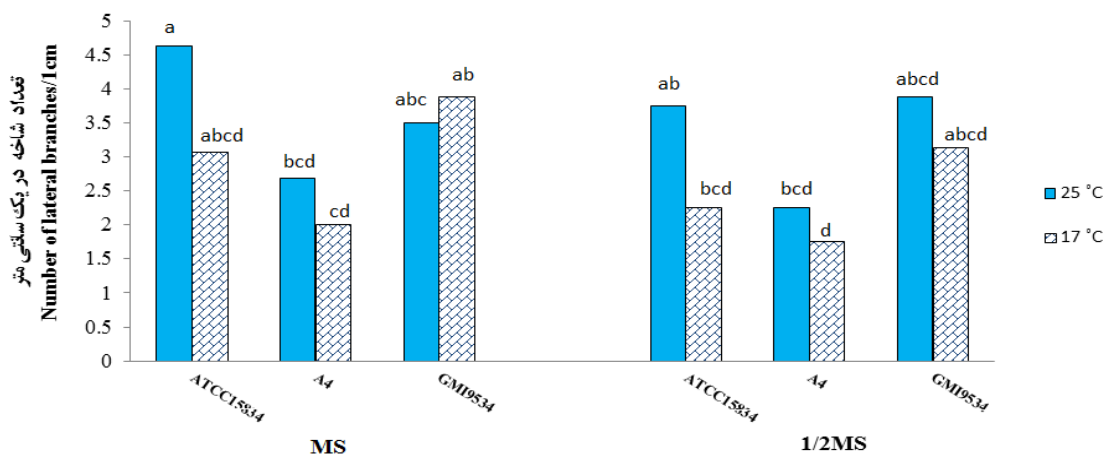
**تعداد ریشه موئین در ریزنمونه**

بیشترین تعداد ریشه موئین در ریزنمونه اندام هوایی برای سویه ATCC15834 و محیط 1/2 M در دمای ۲۵ درجه سلسیوس به میزان ۴/۵ عدد به دست آمد. هم‌چنین این سویه در شرایط ذکر شده ولی دمای ۱۷ درجه سلسیوس نیز با ۳/۶ عدد بالاترین تعداد ریشه موئین در ریزنمونه اندام هوایی را نسبت به دیگر سویه‌ها در این دما تولید کرد (شکل ۶). سویه GMI9534 در هر دو دمای ۲۵ و ۱۷ درجه سلسیوس نسبت به سویه A4 تعداد ریشه موئین بیشتری در ریزنمونه اندام هوایی تولید کرد (شکل ۶). محیط 1/2 MS نسبت به محیط MS برای تمامی سویه‌ها و در هر دو دما، تعداد ریشه موئین در ریزنمونه‌ی اندام هوایی بیشتری (۳/۲)

عدد در مقابل ۲/۵ عدد) تولید کرد.

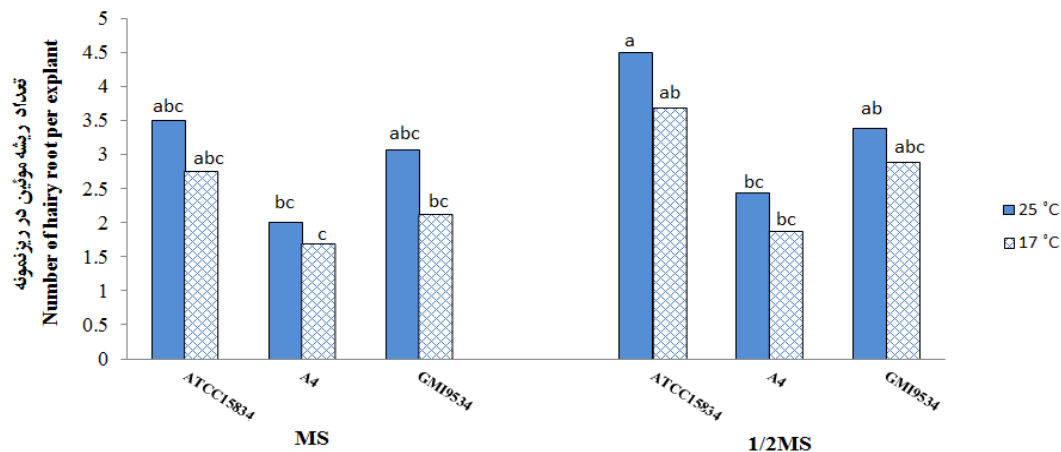
**روند تولید ریشه موئین برای سویه‌های مختلف**

بررسی میزان تحریک ریشه‌های موئین در روزهای ۸، ۱۲، ۱۶، ۲۰ و ۲۴ (روزهای بعد از هم‌کشتی) برای سویه‌های *A. rhizogenes* (شکل ۷) نشان داد که سویه ATCC15834 نسبت به سایر سویه‌ها سرعت پیدایش ریشه موئین بیشتری داشت (۸ روز بعد هم‌کشتی). به طوری که در محیط MS 1/2 و دمای ۲۵ درجه سلسیوس تنها سویه ATCC15834 در روز هشتم به میزان ۶/۳ درصد تحریک ریشه موئین داشت. در حالی که دو سویه دیگر با شرایط مشابه سویه مذکور، در روز دوازدهم به این میزان تحریک ریشه موئین رسیدند (شکل ۷-۷).



شکل ۵- اثر دما، سویه و محیط کشت بر تعداد انشعاب فرعی ریشه موئین در طول یک سانتی‌متر برای ریزنمونه اندام هوایی.

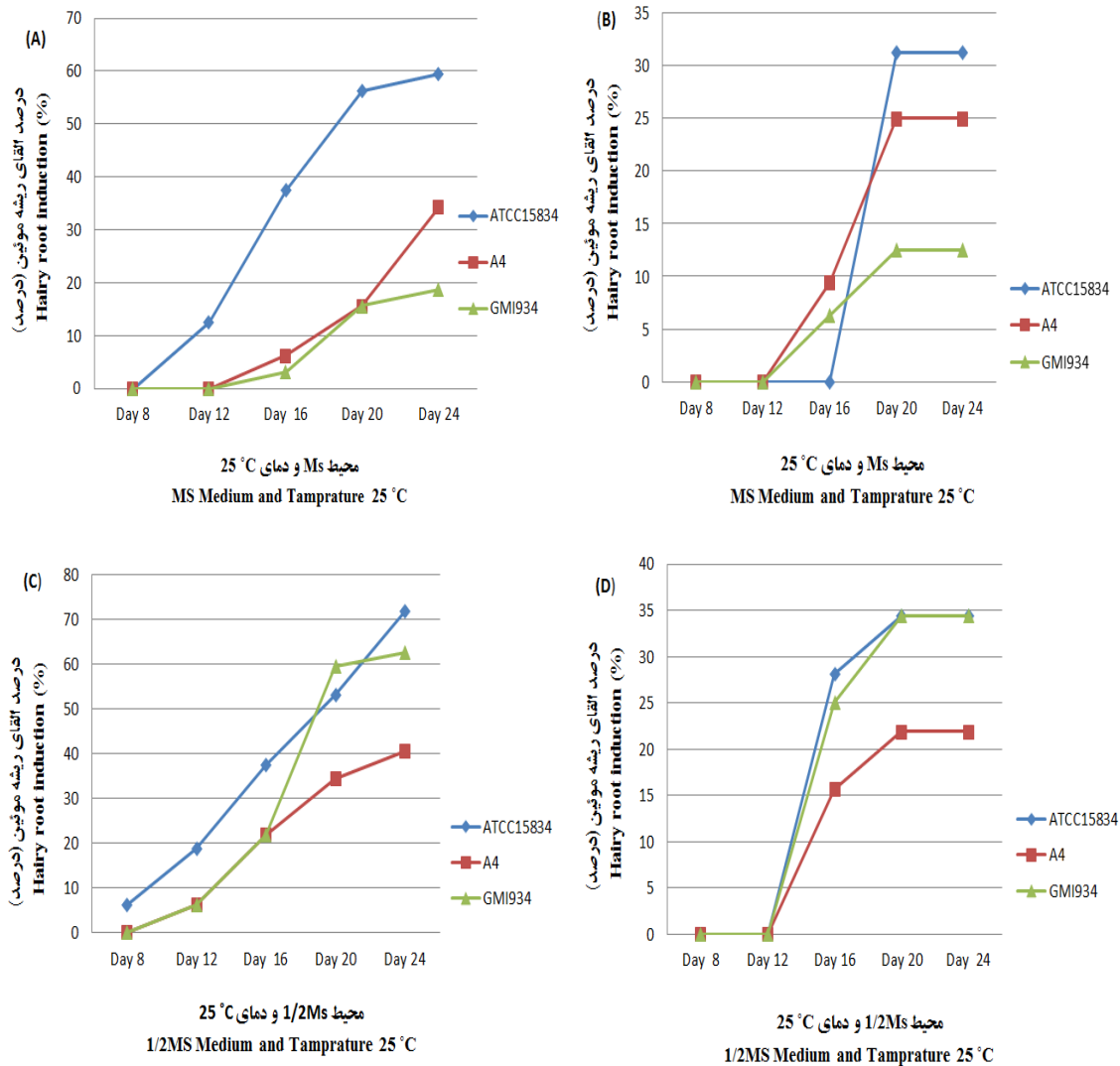
Fig. 5. Effects of temperature, strain and medium on number of lateral branches per 1cm in excised shoot explant ( $P \leq 0.01$ ).



شکل ۶- اثر دما، سویه و محیط کشت بر تعداد ریشه موئین در ریزنمونه اندام هوایی.

Fig. 6. Effects of temperature, strain and medium on number of hairy root per explant in excised shoot explant ( $P \leq 0.01$ ).





شکل ۷- روند میزان تولید ریشه‌های موئین (در ریزنمونه اندام هوایی) برای سویه‌های *A. rhizogenes* در روزهای ۸، ۱۲، ۱۶، ۲۰ و ۲۴. A و B: به ترتیب در محیط MS و دمای ۲۵ و ۱۷ درجه سلسیوس و C و D: به ترتیب در محیط ۱/۲ MS و دمای ۲۵ و ۱۷ درجه سلسیوس.

**Fig. 7.** The rate of hairy root production (in excised shoot) by *A. rhizogenes* strains after 8, 12, 16 and 24 Days after inoculation (DAI). A, B: in MS medium and temperature 25 and 17 °C, respectively. C, D: in 1/2 MS Medium and temperature 25 and 17 °C, respectively.

بودن ریشه‌های موئین است. درحالی که این قطعات در روی ژل الکتروفورز برای ریشه‌های غیر تراریخته ظاهر نشد و در نتیجه نشان داده شد که این ژن در ریشه‌های غیر تراریخته وجود ندارد (شکل ۸).

میزان درصد تراریختی ریشه‌های موئین در گیاه شقایق با PCR ۱۰۰ درصد بود زیرا لازمه وجود این ریشه‌های موئین، تراریخت بودن آنها است. به عبارتی دیگر، ریشه‌های موئین در صورتی تشکیل می‌شوند که ژن‌های

### بررسی تراریختی ریشه‌های موئین با PCR

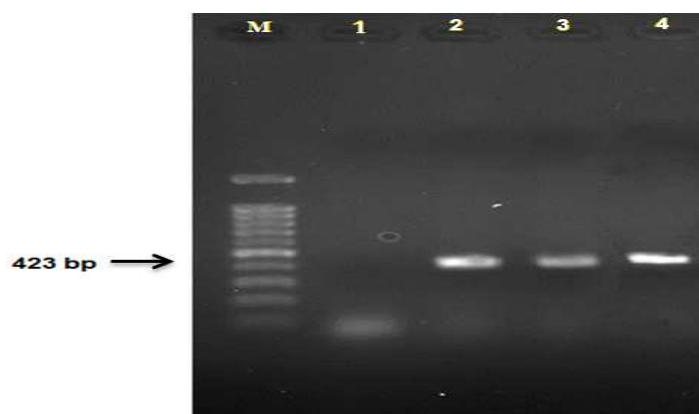
از آنجا که ژن *rolB* در قسمت T-DNA باکتری قرار دارد بر این اساس می‌توان ماهیت تراریختی ریشه‌های موئین را اثبات کرد. به منظور بررسی تراریختی ریشه‌های موئین در واکنش زنجیره‌ای پلیمراز از آغازگرهای ویژه ژن *rolB* استفاده شد و همان‌طور که انتظار می‌رفت قطعاتی به طول ۴۲۳ bp تکثیر گردید. که نشان‌دهنده انتقال توالی T-DNA به ژنوم سلول‌های گیاهی و در نتیجه تراریخت

ATCC15834 از کارایی بالایی در این گیاه برخوردار بود ولی در سویه A4 این میزان کمتر بود. تولید ریشه موئین به واسطه‌ی سویه ATCC15834 در چندین مطالعه گزارش شده است. در طی یک بررسی از دو سویه‌ی ATCC15834 و GMI9534 به‌منظور تحریک ریشه موئین در گیاه *Tribulus terrestris* L. استفاده شد که سویه ATCC15834 در این گیاه دارای کارایی بهتری بود (Shrifi et al., 2014).

در مطالعه‌ی دیگر از سویه‌های ATCC15834، C318، 9435 و A4 در جهت تحریک ریشه موئین در گیاه *Portulaca oleracea* استفاده شد که سویه ATCC15834 نسبت به سویه‌های دیگر دارای بالاترین درصد تراریختی بود (Pirian et al., 2012). هم‌چنین به‌منظور بررسی تحریک ریشه‌های موئین در بین گونه‌های مختلف جنس *Hyoscyamus* از ۵ سویه‌ی LBA9402، 1724، 2659، ATCC15834، A4 و LBA9402 استفاده شد که در گونه *H. arachnoideus* بالاترین درصد تحریک ریشه موئین برای سویه ATCC15834 و کمترین درصد برای سویه A4 به‌دست آمد (Akramian et al., 2008).

*rolA*، *rolB* و *rolC* که در قسمت T-DNA پلاسمید باکتری قرار دارند به گیاه انتقال یابند. در نتیجه‌ی انتقال این ژن‌ها، ریشه‌های موئین تراریخت پدیدار می‌شوند (Ozyigit et al., 2013). انتقال T-DNA از باکتری *A. rhizogenes* به ژنوم گیاهی فرآیند پیچیده‌ای است (Ozyigit et al., 2013). آگروباکتریوم رایزوزنز دارای پلاسمید Ri است و ژن‌های *rolA*، *rolB* و *rolC* در قسمت T-DNA پلاسمید باکتری قرار دارند.

با انتقال این ژن‌ها به گیاه در محل زخم ریشه‌های موئین تراریخت پدیدار می‌شوند. با توجه به اثرات متقابل گیاه-پاتوژن، نوع سویه باکتری نقش اساسی در این فرآیند ایفا می‌کند. واضح است که انتخاب یک سویه آگروباکتریوم برای تولید کشت‌های ریشه موئین تراریخته خیلی به گونه گیاهی وابسته است و باید به‌صورت تجربی تعیین شود. تفاوت در بیماریزایی، ریخت‌شناسی و سرعت رشد، تاحدی به تنوع پلاسمید موجود در هر سویه باکتریایی مرتبط است. در تحقیق حاضر از سویه‌های ATCC15834، A4 و GMI9534 به منظور تحریک ریشه موئین در گیاه شقایق استفاده گردید که این سویه‌ها هر کدام عملکرد متفاوتی نشان دادند به طوری که در ریزنمونه‌ی اندام هوایی، سویه



شکل ۸- نتایج واکاوی PCR جهت تأیید تراریختی ریشه‌های موئین با استفاده از آغازگرهای اختصاصی ژن *rolB* در گیاه شقایق. M: DNA Ladder 100 bp؛ ۱: کنترل منفی (ریشه‌های معمولی)، ۲: کنترل مثبت (پلاسمید Ri از *A. rhizogenes*)، ۳ و ۴: ریشه‌های موئین تراریخته.

**Fig. 8.** Polymerase chain reaction (PCR) analysis for detection of the *rolB* gene in transgenic hairy roots of *P. somniferum* L. Lane M: molecular size marker (100 bp ladder, Fermentase); lane 1: negative control (non-transformed root); lane 2: positive control (Ri plasmid); lanes 2-4: transgenic hairy roots.

هم کشتی سویه‌های *A. rhizogenes* استفاده شد که دمای ۲۵ درجه سلسیوس دمای مناسب تری برای سویه‌های مختلف بود. در مطالعه دیگری جهت بررسی شرایط تراریختی گیاه سویا با *A. rhizogenes* از دماهای مختلف استفاده گردید که دمای ۲۵ درجه سلسیوس دمای مناسب تری بود (Cao et al., 2009). قابل ذکر است که پاسخ گیاهان مختلف به اثر دما در طی دوره هم کشتی می‌تواند متفاوت باشد. برای مثال در طی یک مطالعه از باکتری *A. rhizogenes* سویه‌ی A4RS جهت تراریختی گیاه *Coffea arabica* و بهینه‌سازی شرایط تراریختی از دمای‌های مختلف (۱۵، ۱۸، ۲۰، ۲۲، ۲۴ و ۲۸ درجه سلسیوس) برای دوره هم کشتی استفاده گردید که بیشترین کارایی تراریختی در دمای ۱۸ درجه سلسیوس به دست آمد (Alpizar et al., 2006).

### نتیجه‌گیری

نتایج این بررسی حاکی از این است که عوامل مختلفی از قبیل نوع سویه آگروباکتریوم ریزوژنز، ریزنمونه، دمای دوره هم کشتی و محیط کشت پایه بر تحریک ریشه موئین در گیاه شقایق موثر بود که پیشنهاد می‌گردد جهت رسیدن به بالاترین درصد تحریک ریشه موئین در این گیاه از آگروباکتریوم سویه ATCC15834، محیط کشت MS 1/2، دمای ۲۵ درجه سلسیوس در دوره‌ی هم کشتی و ریزنمونه اندام هوایی استفاده گردد. هم‌چنین در تحقیقات آتی پیشنهاد می‌شود که اثر فاکتورهای بیشتری از جمله محرک‌های زیستی و غیرزیستی<sup>۱</sup>، سویه‌های دیگر و همچنین با فن‌آوری مهندسی متابولیک مسیرهای آلکالوئیدی گیاه بررسی گردد.

نتایج حاصل از بررسی قابلیت دو محیط کشت MS و MS 1/2، در جهت تحریک و تثبیت ریشه‌های موئین گیاه شقایق حاکی از این بود که فاکتور محیط کشت، اثر معنی داری در تحریک ریشه موئین داشت و محیط کشت MS 1/2 تأثیر ویژه‌ی در تحریک ریشه موئین در این گیاه داشت. این یافته‌ها نشان می‌دهد که ترکیبات محیط نقش بسزایی در تحریک ریشه‌های موئین و فراوانی آن‌ها دارد (Bensaddek et al., 2008). در یک مطالعه از محیط‌های MS، MS 1/2، MS 1/4 و B5 به منظور بهینه‌سازی محیط کشت تحریک ریشه موئین در گیاه *Hypericum perforatum* L. استفاده شد که درصد تحریک ریشه موئین در محیط MS 1/2 به نسبت بیشتر از MS بود (Bivadi et al., 2014).

در مطالعه حاضر از دو ریزنمونه اندام هوایی و محور زیرلپه در گیاه شقایق استفاده شد که ریزنمونه اندام هوایی نسبت به ریزنمونه محور زیرلپه در سویه‌های مختلف دارای درصد تحریک بالاتری بود. بر اساس گزارش‌های ارائه شده نوع ریزنمونه گیاهی تأثیر بسیار مهمی بر توانایی تولید ریشه موئین دارد. برای مثال در یک بررسی، ریزنمونه‌های مختلف گیاه *Papaver bracteatum* پاسخ‌های متفاوتی به تراریختی با سویه‌های *A. rhizogenes* دادند به طوری که ریزنمونه اندام هوایی برای همه سویه‌ها دارای درصد تحریک ریشه موئین بالاتری بود و ریزنمونه محور زیرلپه پاسخ ضعیفی داشت (Sharafi et al., 2013). دما یکی از عوامل مؤثر بر میزان انتقال T-DNA از باکتری آگروباکتریوم به سلول‌های گیاهی است (Baron et al., 2001). در این تحقیق برای دوره‌ی هم کشتی از دو دمای ۲۵ و ۱۷ درجه سلسیوس جهت

## References

1. Akramian, M., Tabatabaei, S.M.F., and Mirmasoumi, M. 2008. Virulence of different strains of *Agrobacterium rhizogenes* on genetic transformation of four

- Hyoscyamus* species. American-Eurasian Journal of Agricultural & Environmental Sciences, 3: 759-763.
2. Alpizar, E., Dechamp, E., Espeout, S., Royer, M., Lecouls, A.C., Nicole, M., Bertrand, B., Lashermes, P., and Etienne, H. 2006. Efficient production of *Agrobacterium rhizogenes*-transformed roots and composite plants for studying gene expression in coffee roots. Plant Cell Reports, 25: 959-967.
  3. Balandrin, M.F., Klocke, J.A., Wurtele, E.S., and Bollinger, W.H. 1985. Natural plant chemicals: Sources of industrial and medicinal materials. Science, 228: 1154-1160.
  4. Baron, C., Domke, N., Beinhofer, M., and Hapfelmeier, S. 2001. Elevated temperature differentially affects virulence, virB protein accumulation, and t-pilus formation in different *Agrobacterium tumefaciens* and *Agrobacterium vitis* strains. Journal of Bacteriology, 183: 6852-6861.
  5. Bensaddek, L., Villarreal, M.L., and Fliniaux, M.A. 2008. Induction and growth of hairy roots for the production of medicinal compounds. Electronic Journal of Integrative Biosciences, 3: 2-9.
  6. Bivadi, V., Zakaria, R.A., Zare, N., and Yazdani, B. 2014. Effects of different tissue culture conditions in hairy roots induction in *Hypericum perforatum* L. International Research Journal of Applied and Basic Sciences, 8: 597-604.
  7. Cao, D., Hou, W., Song, S., Sun, H., Wu, C., Gao, Y., and Han, T. 2009. Assessment of conditions affecting *Agrobacterium rhizogenes*-mediated transformation of soybean. Plant Cell, Tissue and Organ Culture, 96: 45-52.
  8. Chandra, S. 2012. Natural plant genetic engineer *Agrobacterium rhizogenes*: Role of T-DNA in plant secondary metabolism. Biotechnology Letters, 34: 407-415.
  9. Desgagne Penix, I., and Facchini, P.J. 2012. Systematic silencing of benzyloquinoline alkaloid biosynthetic genes reveals the major route to papaverine in opium poppy. The Plant Journal, 72: 331-344.
  10. Edwards, K., Johnstone, C., and Thompson, C. 1991. A simple and rapid method for the preparation of plant genomic DNA for PCR analysis. Nucleic Acids Research, 19: 13-49.
  11. Furner, I.J., Huffman, G.A., Amasino, R.M., Garfinkel, D.J., Gordon, M.P., and Nester, E.W. 1986. An *Agrobacterium* transformation in the evolution of the genus *Nicotiana*. Nature, 319: 422-427.
  12. Gamborg, O.L.C., Miller, R.A., and Ojima, K. 1968. Nutrient requirements of suspension cultures of soybean root cells. Experimental Cell Research, 50: 151-158.

13. Le Flem-Bonhomme, V., Laurain-Mattar, D., and Fliniaux, M.A. 2004. Hairy root induction of *Papaver somniferum* var. album, a difficult-to-transform plant, by *A. rhizogenes* LBA 9402. *Planta*, 218: 890-893.
14. Majumdar, S., Garai, S., and Jha, S. 2011. Genetic transformation of *Bacopa monnieri* by wild type strains of *Agrobacterium rhizogenes* stimulates production of bacopa saponins in transformed calli and plants. *Plant Cell Reports*, 30: 941-954.
15. Mishra, B.N. and Ranjan, R. 2008. Growth of hairy-root cultures in various bioreactors for the production of secondary metabolites. *Biotechnology and Applied Biochemistry*, 49: 1-10.
16. Murashige, T. and Skoog, F. 1962. A revised medium for rapid growth and bio assays with tobacco tissue cultures. *Physiologia Plantarum*, 15: 473-497.
17. Ozyigit, I.I., Dogan, I., and Tarhan, E.A. 2013. *Agrobacterium rhizogenes*-mediated transformation and its biotechnological applications in crops. In *Crop Improvement*, pp: 1-48.
18. Park, S.U. and Facchini, P.J. 2000. *Agrobacterium rhizogenes*-mediated transformation of opium poppy, *Papaver somniferum* L., and California poppy, *Eschscholzia californica* Cham., root cultures. *Journal of Experimental Botany*, 51: 1005-1016.
19. Pirian, K., Piri, Kh., and Ghiyasvand, T. 2012. Hairy roots induction from *Portulaca oleracea* using *Agrobacterium rhizogenes* to noradrenaline's production. *International Research Journal of Applied and Basic Sciences*, 3: 642-649.
20. Rostampour, S., Sohi, H.H., Jourabchi, E., and Ansari, E. 2009. Influence of *Agrobacterium rhizogenes* on induction of hairy roots and benzyloisoquinoline alkaloids production in Persian poppy (*Papaver bracteatum* Lindl.): preliminary report. *World Journal of Microbiology and Biotechnology*, 25: 1807-1814.
21. Sevon, N. and Caldentey, K. 2002. *Agrobacterium rhizogenes*-mediated transformation: Root cultures as a source of alkaloids. *Planta Med*, 68: 859-868.
22. Sharafi, A., Sohi, H., Mousavi, A., Azadi, P., Razavi, K., and Otang Ntui, v. 2013. A reliable and efficient protocol for inducing hairy roots in *Papaver bracteatum*. *Plant Cell, Tissue and Organ Culture*, 113: 1-9.
23. Sharifi, S., Sattari, T.N., Zebarjadi, A., Majd, A., and Ghasempour, H. 2014. The influence of *Agrobacterium rhizogenes* on induction of hairy roots and  $\beta$ -carboline alkaloids production in *Tribulus terrestris* L. *Physiology and Molecular Biology of Plants*, 20: 69-80.
24. Tetenyi, P. 1997. Opium poppy (*Papaver somniferum*), botany and horticulture. *Horticultural Reviews*, 19: 373-408.

25. Yoshimatsu, K. and Shimomura, K. 1992. Transformation of opium poppy (*Papaversomniferum* L.) with *Agrobacterium rhizogenes* MAFF 03-01724. Plant Cell Reports, 11: 132-136.